

Steuerkette der Firma Sachs

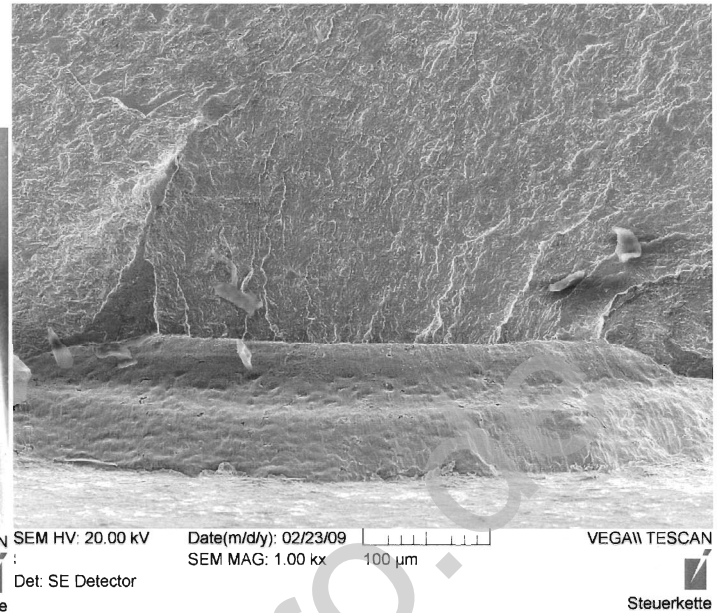
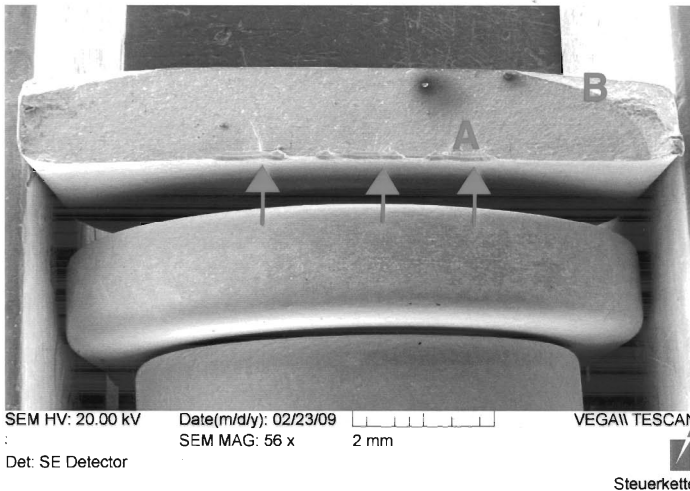


Bild 1: REM-Aufnahme der Bruchfläche
Bruchausgang an eingestempelten Buchstaben (Pfeile)

Bild 2: Bereich A bei höherer Vergrößerung
Bruchausgang im Bereich der Stempelung

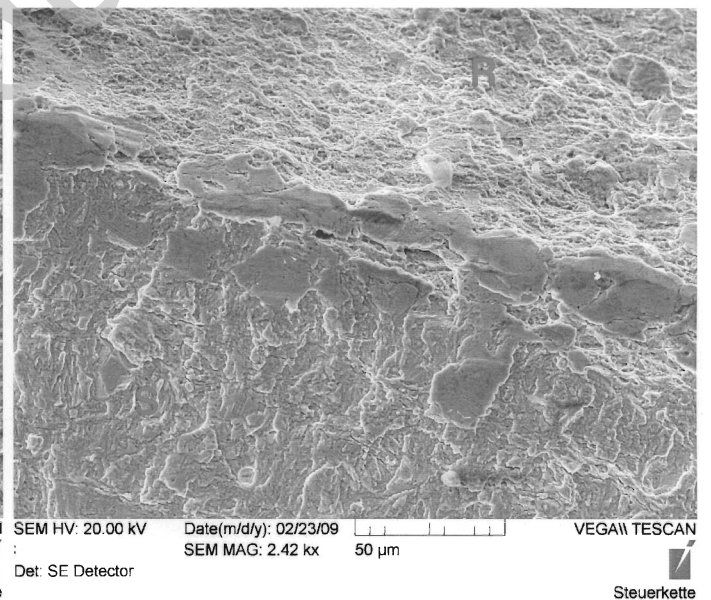
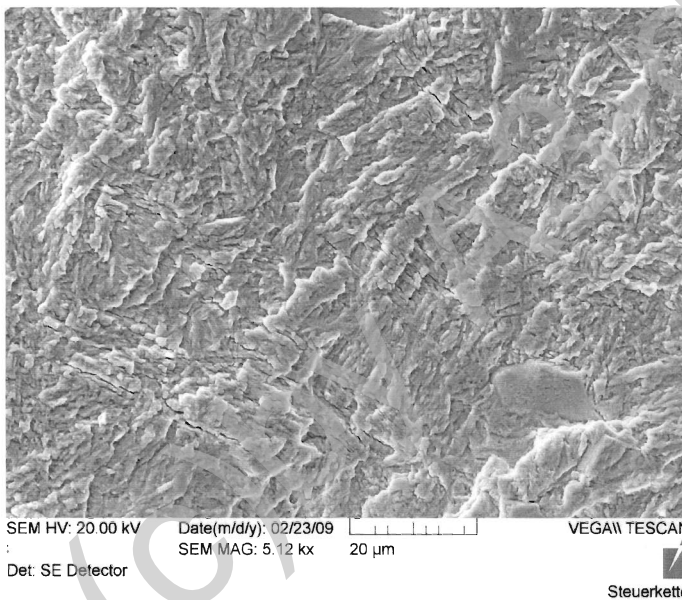
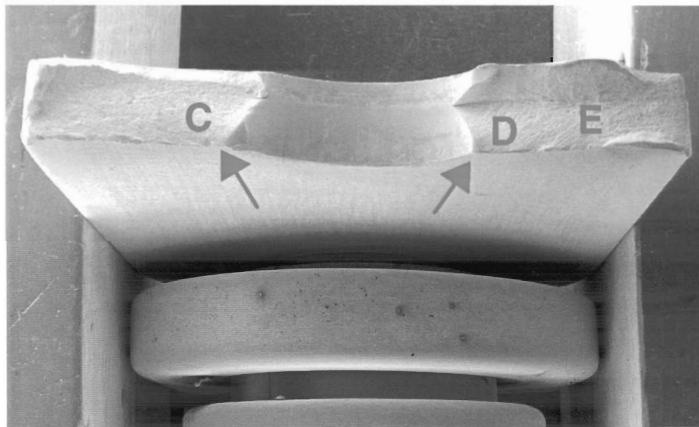


Bild 3: Bruchfläche bei höherer Vergrößerung
Transkristalline, verformungsarme Bruchfläche mit Schwingstreifen und parallelen Rissen

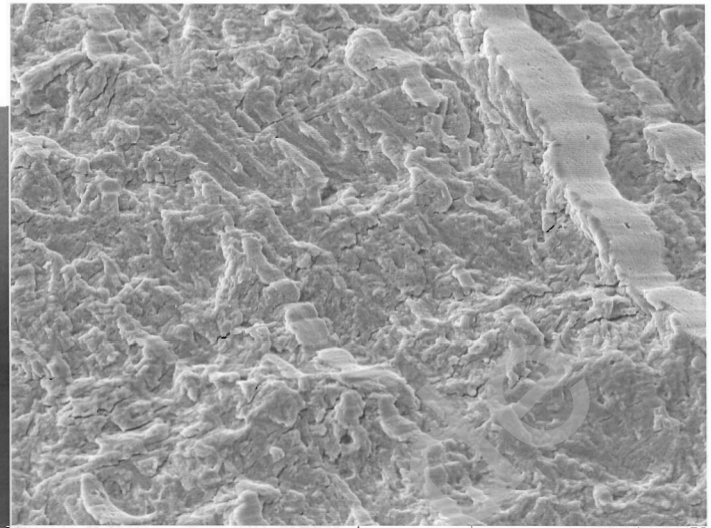
Bild 4: Bereich B bei höherer Vergrößerung
Übergang Schwingbruchfläche (S) / duktiler Restgewaltbruch (R)

Steuerkette



SEM HV: 20.00 kV Date(m/d/y): 02/23/09
 : SEM MAG: 56 x 2 mm
 Det: SE Detector

VEGAW TESCAN
 :
 Steuerkette



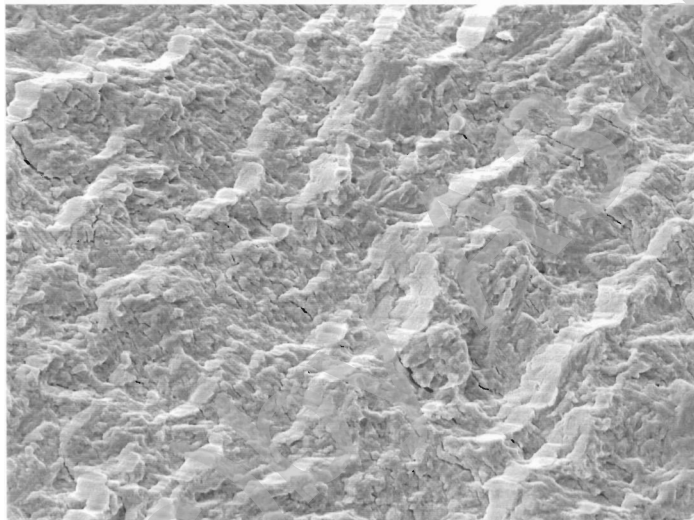
SEM HV: 20.00 kV Date(m/d/y): 02/23/09
 : SEM MAG: 4.49 kx 20 µm
 Det: SE Detector
 VEGAW TESCAN
 Steuerkette

Bild 5: Parallele Bruchfläche

Bruchverlauf in Pfeilrichtung

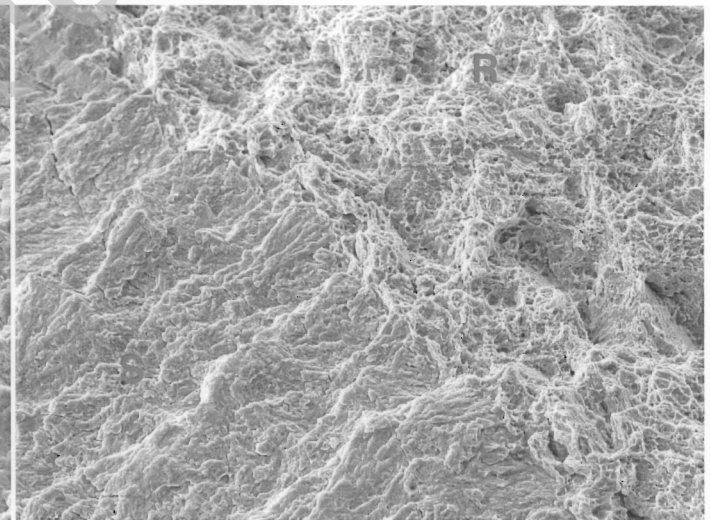
Bild 6: Bereich C bei höherer Vergrößerung

Transkristalline, verformungsarme Bruchfläche mit Schwingstreifen und parallelen Nebenrissen



SEM HV: 20.00 kV Date(m/d/y): 02/23/09
 : SEM MAG: 4.49 kx 20 µm
 Det: SE Detector

VEGAW TESCAN
 :
 Steuerkette



SEM HV: 20.00 kV Date(m/d/y): 02/23/09
 : SEM MAG: 2.42 kx 50 µm
 Det: SE Detector
 VEGAW TESCAN
 Steuerkette

Bild 7: Bereich D bei höherer Vergrößerung

Transkristalline, verformungsarme Bruchfläche mit Schwingstreifen und parallelen Nebenrissen

Bild 8: Bereich E bei höherer Vergrößerung

Übergang Schwingbruchfläche (S) / duktiler Restgaltbruch (R)